

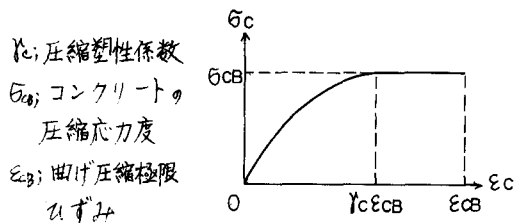
秋田大学 正員。川上潤
秋田大学 正員 加賀谷誠
秋田大学 正員 徳田弘

1. まえがき 曲げをうける鉄筋コンクリート曲線部材に限界状態設計法を適用し破壊曲げモーメントそしてひびわれ発生モーメントを求め、直線部材のそれや弹性理論の結果と比較したものである。

2. 破壊曲げモーメント 曲線部材の破壊曲げモーメントも直線部材のそれと同様に次の仮定を行う。

- 1). 平面保持の仮定が成立する。
 - 2). コンクリートの引張抵抗は無視する。
 - 3). コンクリートの破壊時の応力分布および極限ひずみに關し、図-1のような放物線と矩形の組合せを、また、鉄筋に対して完全弾塑性体を仮定する。

図-1 圧縮部コンクリートの応力-ひずみ曲線



また、図-2の場合を Case A とする。中立軸より任意の距離でのひずみを ϵ_{cy} 、コンクリートの圧縮縁でのひずみを ϵ_{cb} とするとき、その比を δ とおくと

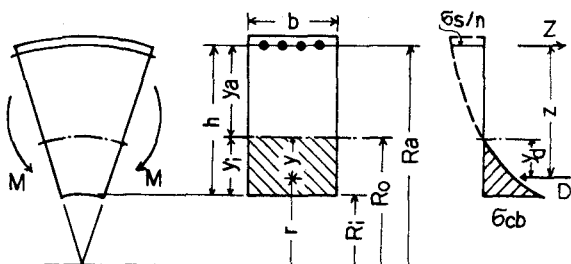
$$\frac{E_{CQ}}{E_{CB}} = \frac{\frac{y}{r}}{\frac{y_i}{R_i}} = \frac{R_i}{y_i} \left(\frac{R_o}{r} - 1 \right) = \Sigma$$

そしてコンクリートの応力分布は次のとおりである。

$$\frac{G_{\text{Cg}}}{G_{\text{Cf}}} = 1 \quad (\Sigma - \gamma_c \sim 1)$$

$$\frac{E_{C1}}{E_{C2}} = \frac{E_{C1}}{\frac{I_c}{I_c} E_{C2}} (2 - \frac{E_{C1}}{\frac{I_c}{I_c} E_{C2}}) = \frac{1}{\frac{I_c}{I_c}} (2Z - \frac{Z^2}{\frac{I_c}{I_c}}) \quad (Z=0-I_c) \quad 2)$$

図-2 Case A の曲線部材



これより圧縮力 D は、式 1), 2)を考慮すると

$$D = \int_{R_i}^{R_o} G_C y dR = G_C b \left(\int_{R_i}^1 \frac{R_o R_i y_i}{(R_i + R_i z)^2} dz + \int_1^{R_o} \frac{1}{R_i} \left(2z - \frac{z^2}{R_i} \right) \frac{R_o y_i}{(R_i + R_i z)^2} dz \right)$$

$$= G_C b \cdot R_i \left(\frac{(1-R_i) y_i}{(R_i + R_i y_i)} + \tilde{G}_{CB} \frac{R_o y_i}{R_i} \left\{ \sum_j \left\{ \log \left(1 + \frac{R_i y_i}{R_i} \right) - \frac{R_i y_i}{(R_i + R_i y_i)} \right\} \right. \right.$$

$$\left. \left. - \frac{1}{R_i y_i^2} \left\{ \frac{R_i y_i^2 + 2 R_i y_i}{(R_i + R_i y_i)^2} - 2 R_i \log \left(1 + \frac{R_i y_i}{R_i} \right) \right\} \right\} \right) \quad 3)$$

であり、引張力 Z は、 $Z = A_s \cdot f_s$ であり、 $\mu = \frac{A_s}{6h}$
とおくと、力のフリーアイより $D = Z$ であるから

$$D = Pb h \mathfrak{S}_s$$

である。いま、鉄筋が降伏点 f_y に達すると同時にコンクリート圧縮部が破壊するとき、中立軸の位置は

$$f_i = \frac{h}{\left(\frac{Ra}{P} \frac{\xi^*}{\xi_i} + 1\right)} \quad 5)$$

式(5)を式(4)へ代入して求まる γ が γ^* であり、単鉄筋で設計するか複鉄筋とするかの限界を示すつりあい鉄筋比である。また、破壊曲げモーメントは、

$$M_B = D(h - y_i + y_d) \quad 6)$$

であり、ここで

$$\begin{aligned} \bar{Y}_d &= \frac{1}{D} \int_{R_i}^{R_o} G_{ij} y^j dF \\ &= \frac{1}{D} G_{i0} \ln R_i y^2 (1 - y_c) \frac{(R_i y_c + R_i + 2 R_i y_c)}{2(R_i + y_c y_i)^2} \\ &+ \frac{1}{D} G_{i1} \ln \frac{R^2 R_i}{T_c} \left\{ -\frac{6R^2 + 13R_i y_c + 8y_c^2 y_i^2}{2(R_i + y_c y_i)^2} + \frac{(3R_i + 2y_c y_i)}{T_c y_i^2} \log(1 + \frac{y_c y_i}{R_i}) \right\} \end{aligned}$$

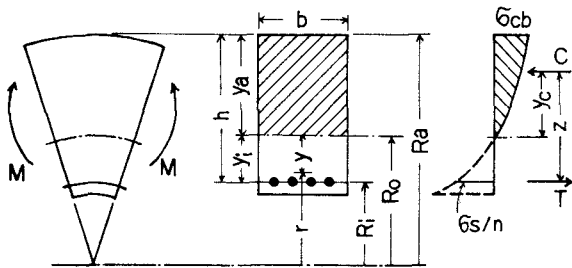
一方、 $\rho < \rho^*$ のとき 式4)において $\delta_s = \delta_s^*$ とおき、 δ_s はトライアル法により決定し、さらに、 $\rho > \rho^*$ のとき、コンクリートの圧縮応力度については B_{cb} となるが、鉄筋については、 δ_s も δ_s^* であるから

$$\bar{\epsilon}_S = E_S \epsilon_S = E_S \epsilon_{CB} \frac{R_i(h-y_i)}{R_g y_i} \quad 8)$$

であり、式8)を式4)へ代入し、 γ_1 をトライアル法により決定する。これらの γ_1 (式6), γ_2 へ代入することにより $P < P^*$ および $P > P^*$ に対する破壊曲げモーメントと中立軸から圧縮力作用点までの距離を

得る。一方、図-3の場合が Case B である。

図-3 Case B の曲線部材



Case B に関するもとで Case A と同様に破壊曲げモーメントが得られる。その結果のみを示すと、

$$C = G_{cb} h R_a \frac{(1-\gamma_a) \gamma_a}{R_a - \gamma_a \gamma_a} + G_{cb} h \frac{R_a}{\gamma_a} \left[\frac{2}{\gamma_a} \left\{ \log(1 - \frac{\gamma_a}{R_a}) + \frac{R_a \gamma_a}{R_a - \gamma_a \gamma_a} \right\} \right] + \frac{1}{R_a \gamma_a^2} \left\{ \frac{\gamma_a^2 - 2 \gamma_a R_a}{R_a - \gamma_a \gamma_a} - 2 R_a \log(1 - \frac{\gamma_a}{R_a}) \right\} \quad (9)$$

であり、つりあい式は、 $C = \phi b h G_s$ $\quad (10)$

そして、破壊曲げモーメントは、 $M_B = C (h - y_a + y_c)$ である。ここで

$$y_c = \frac{1}{C} \frac{G_{cb} h R_a}{\gamma_a} \left\{ \frac{6 R_a^2 - 13 R_a \gamma_a^2 + 8 R_a \gamma_a^2}{2(R_a - \gamma_a \gamma_a)^2} + \frac{(3 R_a - 2 \gamma_a^2)}{R_a \gamma_a} \log(1 - \frac{\gamma_a}{R_a}) \right\} + \frac{1}{C} G_{cb} h R_a \gamma_a^2 (1 - \gamma_a) \left\{ \frac{R_a \gamma_a + R_a - 2 \gamma_a^2}{2(R_a - \gamma_a \gamma_a)^2} \right\} \quad (11)$$

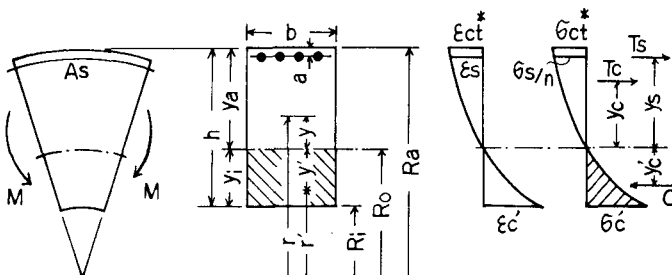
3. ひびわれ発生モーメント

図-5 は、Case A であり、ひびわれ直前の応力状態を示す。引張部の応力分布は、図-4 のように仮定する。図-4、引張部コンクリートの応力-ひずみ曲線は、引張強性係数 E_d^* ；極限曲げ引張ひずみで、 $\epsilon_d^* = (18.5 + 0.02 \gamma_a) \times 10^{-5}$ を用いる。

図-5 より、コンクリートの圧縮力 C は

$$C = \int_{R_a}^{R_o} G_{ct}^* dF = E_d^* E_{ct}^* h \frac{R_o R_a}{h - y_c} \left\{ -\frac{y_c}{R_o} - \log(1 - \frac{y_c}{R_o}) \right\} \quad (12)$$

図-5 Case A のひびわれ発生モーメント



コンクリートの引張力は、

$$T_c = \int_{R_a}^{R_o} G_{ct}^* dF = E_d^* h R_a \frac{(1 - \gamma_a) \gamma_a}{(R_a - \gamma_a \gamma_a)} + G_{ct}^* h \frac{R_o R_a}{h} \quad (13)$$

また、鉄筋の引張力 T_s は、

$$T_s = G_s A_s = E_s \epsilon_s p_b h = E_s \frac{(h-a) R_a}{(h-a) \gamma_a} E_d^* p_b h \quad (14)$$

式 (12), (13), (14) より、つりあい式は、

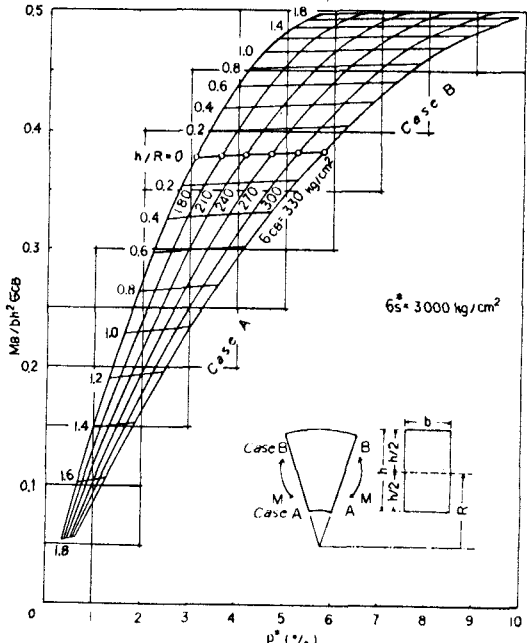
$$C = T_c + T_s \quad (15)$$

これより中立軸の位置が決定し、また、ひびわれ発生モーメントは $M_{cr} = C y_c + T_c y_c + T_s y_s$ で与えられる。ここで、
 $G_{cb}' = E_c E_{ct}^* h \frac{R_a}{h} [-R_a y_c - \frac{1}{2} y_c^2 - R_o y_a \log(1 - \frac{y_a}{R_o})]$
 $T_c y_c = G_{ct}^* h R_a \frac{R_o^2}{h} \left\{ \frac{6 R_a^2 - 13 R_a \gamma_a^2 + 8 R_a \gamma_a^2}{2(R_a - \gamma_a \gamma_a)^2} + \frac{(R_a - 2 \gamma_a^2)}{R_a \gamma_a^2} \log(1 - \frac{\gamma_a}{R_a}) \right\} + G_{ct}^* h y_a^2 R_a (1 - \gamma_a) \frac{(R_o y_c + R_a - 2 R_a \gamma_a)}{2(R_a - \gamma_a \gamma_a)^2}$

同様に、Case B のひびわれ発生モーメントも得られる。

4. 結果 図-6 は、 p^* と破壊曲げモーメントの関係

図-6 p^* と破壊曲げモーメント



係であり、 $G_s = 3000 \text{ kg/cm}^2$ の場合について示したものである。図中、 $y_c = 0$ が、直線部材に相当する。従って Case A と Case B の特殊な場合であり、これは、説明した式中、対数項を級数展開し、 γ_a により、直線部材の結果にならることを示す。